



Министерство науки и высшего образования Российской Федерации
Федеральное государственное бюджетное образовательное учреждение
высшего образования
«Московский государственный технический университет
имени Н.Э. Баумана
(национальный исследовательский университет)»
(МГТУ им. Н.Э. Баумана)

ФАКУЛЬТЕТ _____ ИНФОРМАТИКА И СИСТЕМЫ УПРАВЛЕНИЯ _____

КАФЕДРА _____ СИСТЕМЫ ОБРАБОТКИ ИНФОРМАЦИИ И УПРАВЛЕНИЯ (ИУ5) _____

РАСЧЕТНО-ПОЯСНИТЕЛЬНАЯ ЗАПИСКА К НАУЧНО-ИССЛЕДОВАТЕЛЬСКОЙ РАБОТЕ

НА ТЕМУ:

Кластеризация данных LiDAR

Студент _____ ИУ5-61Б _____
(Группа)

(Подпись, дата) _____ **Коваленко А.В.** _____
(И.О.Фамилия)

Руководитель

(Подпись, дата) _____ **Канев А. И.** _____
(И.О.Фамилия)

Москва, 2023 г.



Министерство науки и высшего образования Российской Федерации
Федеральное государственное бюджетное образовательное учреждение
высшего образования
«Московский государственный технический университет имени
Н.Э. Баумана
(национальный исследовательский университет)»
(МГТУ им. Н.Э. Баумана)

УТВЕРЖДАЮ

Заведующий кафедрой ИУ5
(Индекс)

« _____ » _____ 20 ____ г.
(И.О.Фамилия)

З А Д А Н И Е
на выполнение научно-исследовательской работы

по теме Кластеризация данных LiDAR

Студент группы ИУ5-61Б

Коваленко Алексей Викторович
(Фамилия, имя, отчество)

Направленность НИР (учебная, исследовательская, практическая, производственная, др.)

Исследовательская

Источник тематики (кафедра, предприятие, НИР) НИР

График выполнения НИР: 25% к ____ нед., 50% к ____ нед., 75% к ____ нед., 100% к ____ нед.

Техническое задание Исследовать использование методов машинного обучения для
решения задачи сегментации деревьев из облака точек

Оформление научно-исследовательской работы:

Расчетно-пояснительная записка на 28 листах формата А4.

Перечень графического (иллюстративного) материала (чертежи, плакаты, слайды и т.п.)

Дата выдачи задания «07» февраля 2023 г.

Руководитель НИР

Канев А.И.
(Подпись, дата) (И.О.Фамилия)

Студент

Коваленко А.В.
(Подпись, дата) (И.О.Фамилия)

Содержание

ВВЕДЕНИЕ	4
1 Постановка задачи	5
2 Описание данных, используемых методов и метрик	6
3 Сегментация деревьев из облака точек	7
4 Сегментация облака точек большой размерности	13
5 Создание модели на основе полученных данных	20
ЗАКЛЮЧЕНИЕ	27
СПИСОК ИСПОЛЬЗОВАННЫХ ИСТОЧНИКОВ	28

ВВЕДЕНИЕ

LiDAR – технология, предназначенная для определения расстояния до какой-либо точки от точки измерения. Она реализована при помощи замера времени, которое необходимо световому лучу для достижения точки и возвращения обратно в сенсор лидара, после чего происходит расчёт расстояния на основе полученных данных. Данная технология имеет широкий спектр применения, который включает в себя геодезию, изучение атмосферы, мониторинг лесов, строительство и архитектуру, также при работе в подводных условиях в мирных и военных целях, а также в робототехнике и машинном зрении.

По итогам своей работы лидар возвращает облако точек, которое соответствует точкам пространства, которые были засняты в ходе работы устройства. Само по себе облако является сплошным и не различает отдельные объекты, чтобы различить объекты или разделить облако на различные объекты применяется сегментация. Данная операция, в общем, является широко используемой в различных областях, таких как машинное обучение, анализ данных, обработка изображений и других.

Целью этой работы является исследование методов применения машинного обучения для выделения деревьев из облака точек, а затем дальнейшее обучение модели для анализа полученных сегментов. Задачами данной работы являются сегментация облака точек при помощи методов машинного обучения для получения деревьев, а также обучение модели машинного обучения для определения является ли полученное облако точек деревом.

1 Постановка задачи

В результате наземной съемки при помощи лидара было получено трехмерное облако точек. Это облако необходимо сегментировать на отдельные кластеры, которые будут представлять собой отдельное дерево, а после обучить модель на полученных результатах.

Современный мир требует высокой заботы об окружающей среде, в результате чего возрастает необходимость в средствах для отслеживания состояния оной.

Особенно данная тенденция является важной в сфере лесного хозяйства, так как деревья играют огромнейшую роль в работе экосистем на нашей планете. Автоматизация работы над отслеживанием лесов является довольно перспективным направлением в данной области. Необходимо отслеживать, не только здоровье самих деревьев, но и их разнообразие, так же отчасти в природе необходимо наличия и плохих деревьев для развития экосистем, однако они должны быть в малых количествах. Поэтому необходимо отслеживать и анализировать состояние леса. Из-за неэффективности и высоких затрат на ручной анализ данных было принято решение осуществить анализ выбранный лес при помощи дистанционной съемки, а затем привести анализ полученных данных при помощи методов машинного обучения [1].

Применение лидара для анализа подобных данных позволяет осуществить быстрый и качественный анализ леса на определенной площади. Среди того, что может предоставить лидар есть: анализ различных высотных уровней представленного пространства, анализ густоты представленного массива, анализ состояния леса в целом и много другое, что может быть использовано для анализа [2].

Автоматизированная система по анализу деревьев в различных ситуациях является важной задачей для лесного и сельского хозяйства. Например, при валке леса, на выбор дерева влияют факторы, описывающие само дерево, среди которых его высота и толщина, род дерева, возраст, и здоровье дерева. Все эти детали делают лес неоднородным, что усложняет задачу анализа, и на данный

момент самым надежным способом анализа деревьев является использование человека-оператора, который будет анализировать и принимать решения. Но с развитием моделей машинного обучения и технологий с ними связанных человек получит способ упростить себе работу с представленными задачами [3].

Данные о деревьях, такие как здоровье, физические показатели и местоположение, имеют большое значение для работы коммерческих лесоводств. Использование автоматизированных систем позволит им использовать в разы меньше ресурсов для лесозаготовительного процесса [4][5].

Также большую роль сегментация придает в задачах изучения антропогенного влияния на лесной массив, а также в задачах улучшения антропогенного взаимодействия с природой, такой как прокладывание маршрутов через лесополосу, для развития логистики. Влияние же человека рассматривается в ситуации негативных изменений в виде эрозии, болезней, засух и других негативных последствий. И опять же сегментация позволяет получить широкие данные о состоянии и показателях отдельно взятого дерева, после проведения анализа, что имеет широкое применение и положительное влияние на ведение лесозаготовительной деятельности [5].

2 Описание данных, используемых методов и метрик

Используемые данные представляют собой двумерный массив координат 10000 точек (Рисунок 2.1), полученных в результате съемки лидаром трех близких друг к другу деревьев (вариант 0). Точки, принадлежащие стволу, распределены с более высокой плотностью, чем точки, принадлежащие листве деревьев, что может сказаться на точности методов машинного обучения.

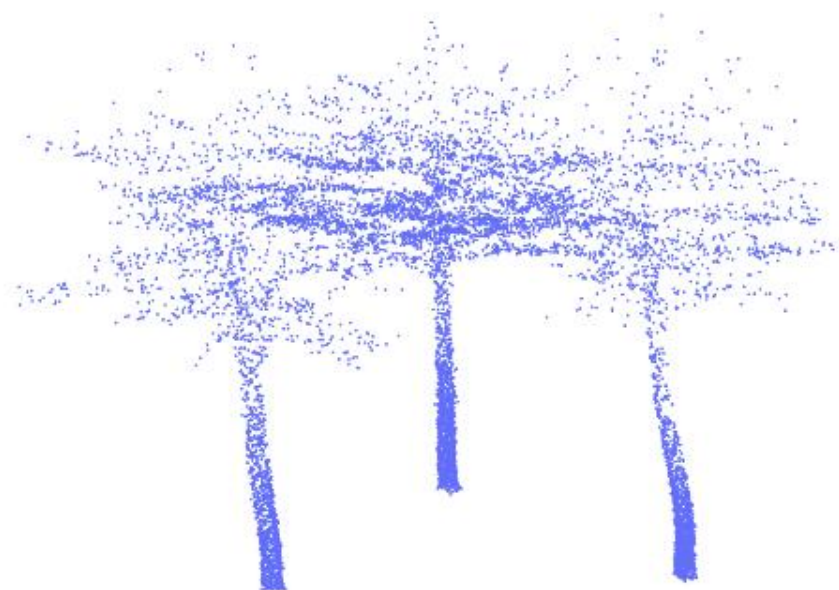


Рисунок 2.1 – облако точек

Для анализа представленных данных будет использован метод DBSCAN. Он представляет собой плотностный алгоритм пространственной кластеризации с присутствием шума. Для проведения анализа необходимо представить 2 параметра: ϵ – радиус ϵ -окрестности и количество соседних точек min_samples . Алгоритм сначала выбирает корневую точку на основе того, что в ϵ -окрестности есть min_samples количество точек. Затем алгоритм начинает проходить по соседним точкам. Если соседняя точка является корневой, то она добавляется в обход, иначе – нет. По такому методу все точки, которые не являются корневыми, будут считаться выбросами. Для оценки качества результатов кластеризации выбрана метрика Silhouette Score, так же визуальный анализ на ранней стадии анализа.

3 Сегментация деревьев из облака точек

Для сегментации точек из облака был использован метод DBSCAN для кластеризации и методы для чтения `pcd` файлов и представления полученных результатов. Была проведена первоначальная сегментация облака с параметрами $\epsilon = 0,5$ и $\text{min_samples} = 140$. Полученный результат был крайне

неудовлетворительным, так как он распознал всего лишь 1 дерево из 3 (Рисунок 3.1).

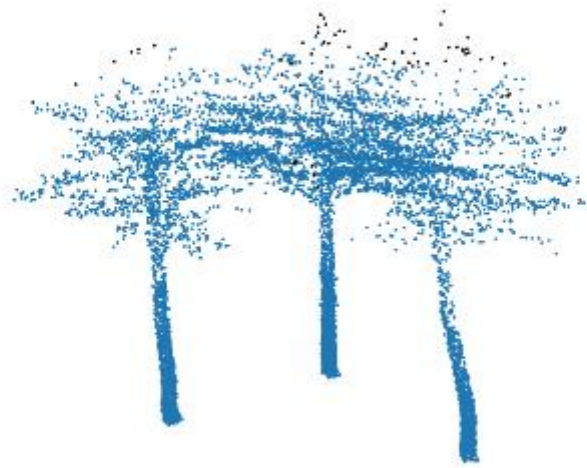


Рисунок 3.1 – результат сегментации при $\text{eps} = 0,5$, $\text{min_samples} = 140$

Было принято решение провести grid search анализ для поиска подходящих параметров. Для этого eps будет перебираться от 0,02 до 0,55 с шагом 0,01, а min_samples будет перебираться от 10 до 300 с шагом 300. В ходе перебора мы создадим DataFrame, в котором будет сохранять только те параметры, при которых было получено только 3 дерева, или же всего 4 кластера (3 дерева и выбросы) (Рисунок 3.2, Рисунок 3.3).

```
Ввод [64]: %%time
eps_list = np.arange(0.02,0.55,0.01)
min_pts_list = np.arange(10,300,5)
res = []

for e in eps_list:
    for m in min_pts_list:
        pca_dbSCAN_cluster = DBSCAN(eps=e, min_samples=m).fit(X)
        if len(np.unique(pca_dbSCAN_cluster.labels_)) == 4:
            res.append((e,m,4))
print (f"ended working with eps={e} with resust as {len(res)}")

ended working with eps=0.02 with resust as 0
ended working with eps=0.03 with resust as 0
ended working with eps=0.039999999999999994 with resust as 0
```

Рисунок 3.2 – код создания grid search для поиска параметров


```
Ввод [66]: newdf = pd.DataFrame(res, columns=["eps", "min_pts", "size"])
newdf
```

Out[66]:

	eps	min_pts	size
0	0.05	40	4
1	0.05	45	4
2	0.05	50	4
3	0.05	65	4
4	0.06	45	4
...
1018	0.53	295	4
1019	0.54	280	4
1020	0.54	285	4
1021	0.54	290	4
1022	0.54	295	4

1023 rows × 3 columns

Рисунок 3.3 – Код переформатирования массива в датафрейм

При малых `eps` и `min_samples` кластеры содержат малое количество тесно сгруппированных точек, подавляющее большинство точек определяется как шумы (Рисунок 3.4).

```
Ввод [13]: eps = 0.05
min_pts = 45

pcd, colors = add_color(pcd, colors)
X = np.asarray(pcd.points)
max_label, obj_points = None, None

new_pcd, colors, max_label, obj_points = segment_pcd_old(X, pcd, points, eps, min_pts)
points = np.asarray(pcd.points)
new_pcd, colors = add_color(new_pcd, colors)

draw_plot(points, colors)
```

3



Рисунок 3.4 – результат сегментации при малых `eps` и `min_samples`

При увеличении `eps` и `min_samples` все больше точек попадают в кластеры, и начинают охватывать большие объемы ствола. Однако вся листва все еще распознавалась как выброс (Рисунок 3.5).

```
Ввод [14]: eps = 0.21
            min_pts = 200

            pcd, colors = add_color(pcd, colors)
            X = np.asarray(pcd.points)
            max_label, obj_points = None, None

            new_pcd, colors, max_label, obj_points = segment_pcd_old(X, pcd, points, eps, min_pts)
            points = np.asarray(pcd.points)
            new_pcd, colors = add_color(new_pcd, colors)

            draw_plot(points, colors)
```

3

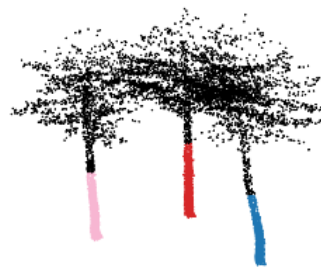


Рисунок 3.5 – результаты сегментации при `eps = 0,21`, `min_samples = 200`

При `eps=0,41` и `min_samples=160` наблюдается довольно качественная кластеризация, где большая часть листвы попала в соответствующие кластеры. А также при увеличении параметров кластеры начинали перекрывать друг друга, в результате чего, крона одного дерева сегментировалась в соседнее дерево. (Рисунок 3.6).

```

n_clusters = 4

eps = 0.41
min_pts = 160

Ввод [16]: pcd, colors = add_color(pcd, colors)
X = np.asarray(pcd.points)
max_label, obj_points = None, None

new_pcd, colors, max_label, obj_points = segment_pcd(X, pcd, points, eps, min_pts, n_clusters, True)
print(f"Распознано {max_label} объектов в облаке точек")

Распознано 3 объектов в облаке точек

Ввод [17]: points = np.asarray(pcd.points)
new_pcd, colors = add_color(new_pcd, colors)

draw_plot(points, colors)

```



Рисунок 3.6 – результаты сегментации при $\text{eps} = 0,41$, $\text{min_samples} = 160$

Для улучшения результатов кластеризации была проведена операция перебора в окрестностях $\text{eps} = 0,41$, $\text{min_samples} = 160$. Для поиска наиболее успешных параметров была использована метрика `silhouette_score` (Рисунок 3.7).

```

Ввод [81]: %%time
eps_list = np.arange(0.39,0.45,0.0025)
min_pts_list = np.arange(120,200,1)
res = []

for e in eps_list:
    for m in min_pts_list:
        pca_dbSCAN_cluster = DBSCAN(eps=e, min_samples=m).fit(X)
        if len(np.unique(pca_dbSCAN_cluster.labels_)) == 4:
            sil = metrics.silhouette_score(X, pca_dbSCAN_cluster.labels_)
            res.append((e,m,3,sil))
print (f"ended working with eps={e} with resust as {len(res)}")
increaseddf = pd.DataFrame(res, columns=["eps","min_pts","size","sil_score"])
increaseddf

ended working with eps=0.39 with resust as 14
ended working with eps=0.3925 with resust as 32
ended working with eps=0.395 with resust as 48

```

Рисунок 3.7 – Поиск параметров в окрестности $\text{eps} = 0,41$, $\text{min_samples} = 160$

Наилучшие результаты были достигнуты при $\text{eps}=0,39$ и $\text{min_samples}=149$ с $\text{silhouette_score} = 0.346324$ (Рисунок 3.8, Рисунок 3.9).

Ввод [82]: `sorted = increaseddf.sort_values('sil_score', ascending = False)`
`sorted`

Out[82]:

	eps	min_pts	size	sil_score
12	0.3900	149	3	0.346324
13	0.3900	150	3	0.346321
31	0.3925	152	3	0.346038
10	0.3900	147	3	0.345150
11	0.3900	148	3	0.344790
...
35	0.3950	139	3	0.108387
51	0.3975	141	3	0.108383
36	0.3950	140	3	0.108295
73	0.4025	145	3	0.103430
63	0.4000	143	3	0.102898

210 rows × 4 columns

Рисунок 3.8 – результаты перебора в окрестности $\text{eps} = 0,41$, $\text{min_samples} = 160$, отсортированные по наилучшему силуэту

Ввод [30]: `eps = 0.39`
`min_pts = 149`

```

pcd, colors = add_color(pcd, colors)
X = np.asarray(pcd.points)
max_label, obj_points = None, None

new_pcd, colors, max_label, obj_points = segment_pcd_old(X, pcd, points, eps, min_pts)
points = np.asarray(new_pcd.points)
new_pcd, colors = add_color(new_pcd, colors)

draw_plot(points, colors)

```



Рисунок 3.9 – результаты сегментации при $\text{eps}=0,39$ и $\text{min_samples}=132$

4 Сегментация облака точек большой размерности

Следующей нашей задачей является сегментация облака большой размерности, чтобы получить деревья для дальнейшего создания модели. Для этого изначально было разделено на сегменты, а после проанализировано. Но начнем сначала.

Имеется облако точек, которое состоит из 46744308 точек и представлено в виде двумерного массива (Рисунок 4.1), полученное в результате съемки лидаром множества деревьев.

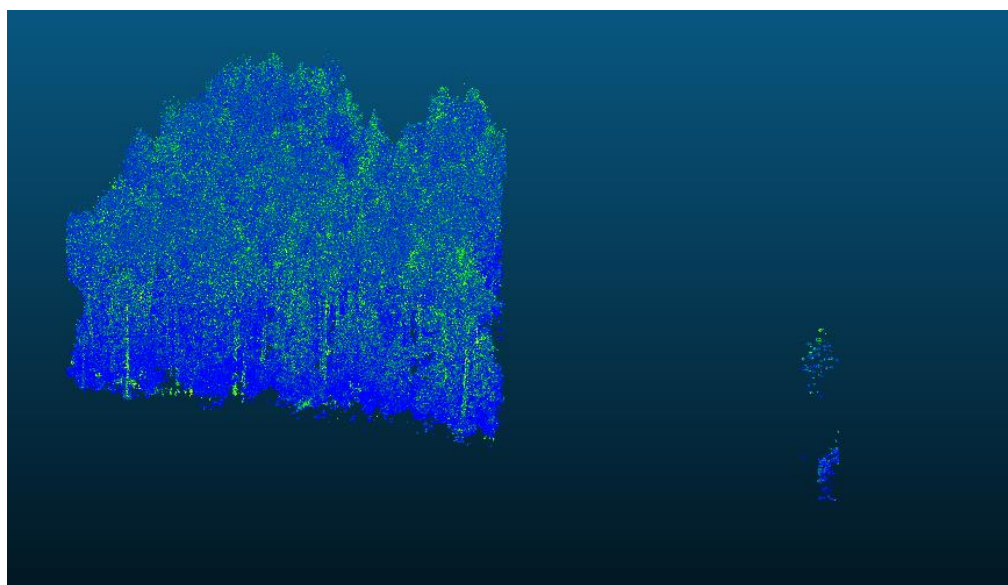


Рисунок 4.1 – облако точек большой размерности

Как видно на изображении имеется выброс, который мы удалим, также выровняв вместе в них уровень почвы (Рисунок 4.2). Также вместе с этим уменьшилось количество точек – до 45863756.

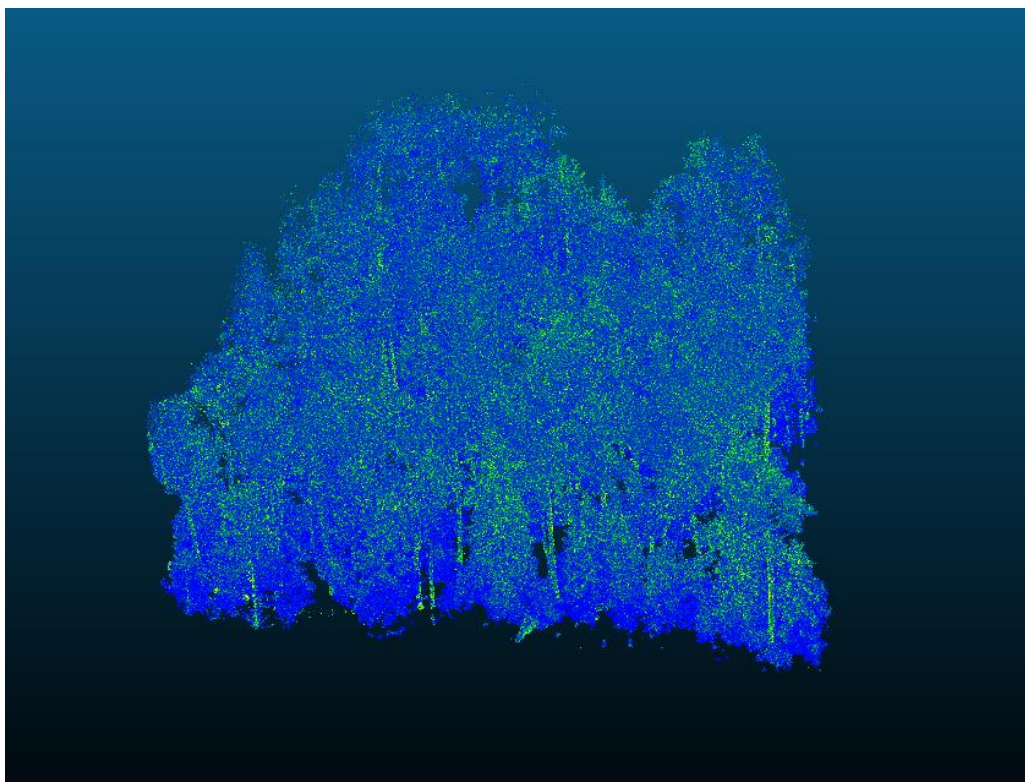


Рисунок 4.2 – очищенное от выбросов облако точек

В силу специфики нашей задачи разделим облако на несколько небольших сегментов по несколько деревьев в каждом. Каждый такой сегмент состоит примерно из 4-5млн точек. В результате создания таких фрагментов, получилось 13 небольших сегментов (Рисунок 4.3, Рисунок 4.4).

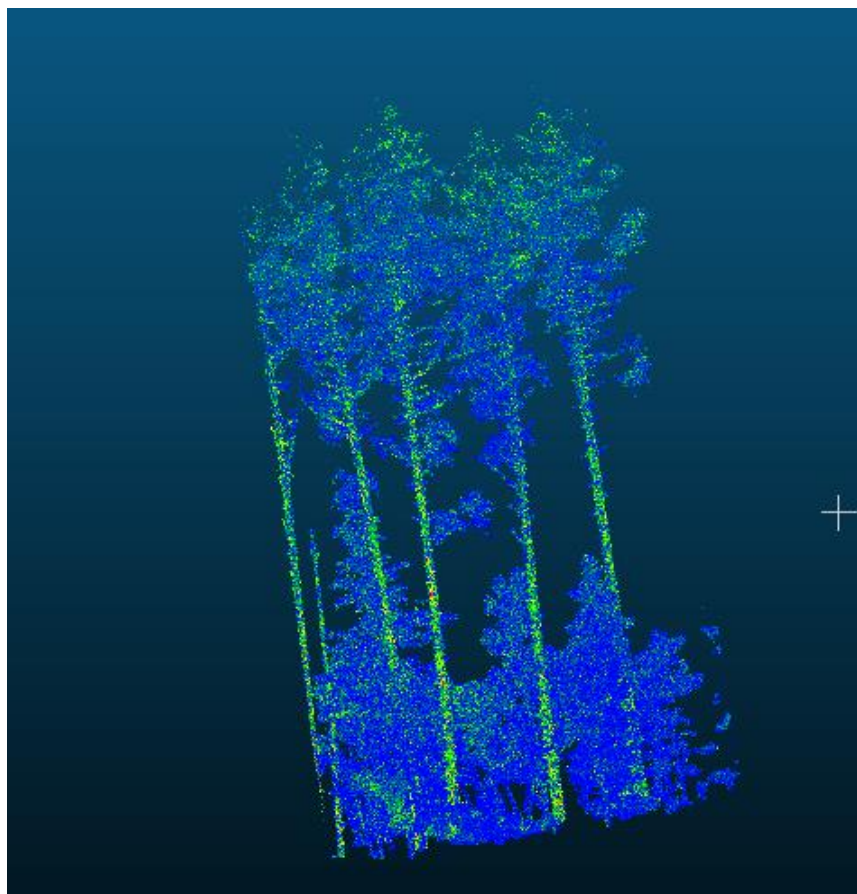


Рисунок 4.3 – Пример одного из фрагментов

1.pcd	01.06.2023 17:18	Файл "PCD"	115 391 КБ
2.pcd	01.06.2023 17:18	Файл "PCD"	72 800 КБ
3.pcd	01.06.2023 17:19	Файл "PCD"	48 173 КБ
4.pcd	01.06.2023 17:19	Файл "PCD"	50 486 КБ
5.pcd	01.06.2023 17:19	Файл "PCD"	60 910 КБ
6.pcd	01.06.2023 17:19	Файл "PCD"	110 344 КБ
7.pcd	01.06.2023 17:19	Файл "PCD"	43 496 КБ
8.pcd	01.06.2023 17:19	Файл "PCD"	136 953 КБ
9.pcd	01.06.2023 17:19	Файл "PCD"	98 531 КБ
10.pcd	01.06.2023 17:19	Файл "PCD"	59 412 КБ
11.pcd	01.06.2023 17:19	Файл "PCD"	66 368 КБ
12.pcd	01.06.2023 17:19	Файл "PCD"	98 142 КБ
13.pcd	01.06.2023 17:19	Файл "PCD"	61 601 КБ

Рисунок 4.4 – Все полученные фрагменты

Также был применен встроенный алгоритм CloudCompare по уменьшению размерности облака, на основе минимального расстояния между точками, что сильно проредило основания у стволов деревьев, уменьшив количество точек в ~10 раз у каждого набора деревьев. Полученные фрагменты будут являться запасными если работа с изначальными облаками окажется неудачной.

Для дальнейшей сегментации был применен DBSCAN для сегментации разреженного облака точек. Для него были выбраны произвольные параметры $\epsilon = 0.42$ и $\text{min_samples} = 200$ (Рисунок 4.5). Однако и при дальнейшем переборе параметров не было получено удовлетворительных результатов (Рисунок 4.6).

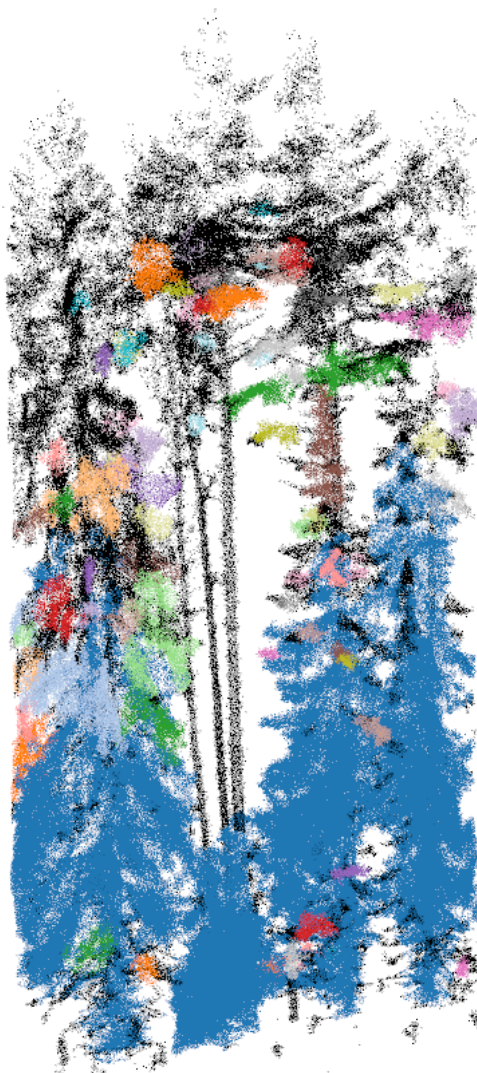


Рисунок 4.5 – Сегмент 1 при $\epsilon = 0.42$ и $\text{min_samples} = 200$

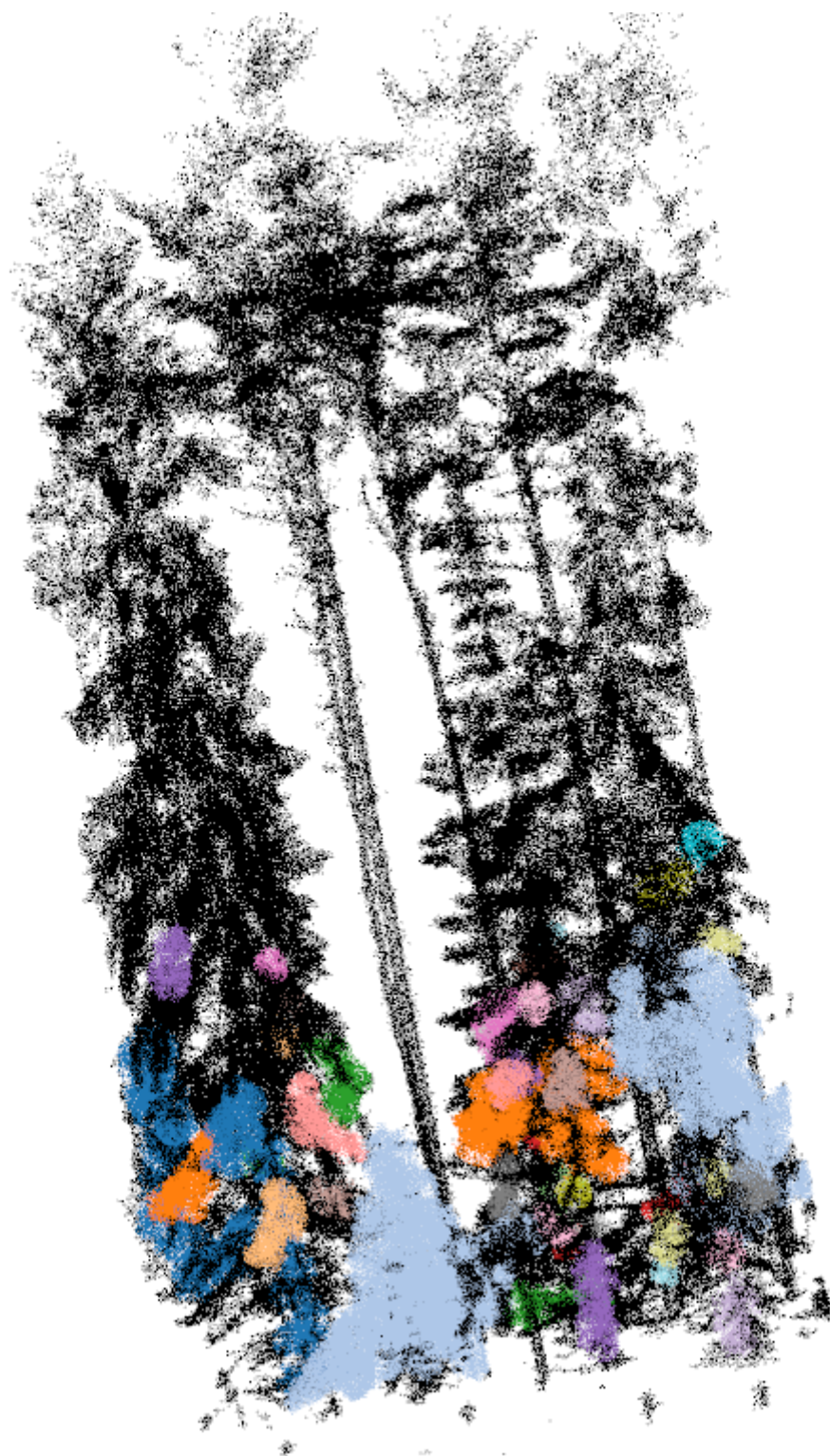


Рисунок 4.6 – Сегмент 1 при $\text{eps} = 0.35$ и $\text{min_samples} = 150$

В силу неуспешности попыток сегментации было принято решение искать другой способ сегментации деревьев. Одним из решений был найден способ сегментации через вокселизацию леса, а затем дальнейшее построение графа, на основе которого будет уже создан сегментированный лес. В дальнейшей работе будет использован метод сегментации, разработанный

Юлией Рыжковой в схожей научной работе, который был разрешен мне к применению в моей научной работе.

Для работы с вокселями и точками был применён алгоритм уменьшения размерности, который уменьшает количество точек до желаемого размера с учетом их высоты (Рисунок 4.7). Таким образом, можно будет использовать алгоритм вокселизации, так как иначе он являлся слишком ресурсоемким из-за количества точек.

```
# до ??? точек
def down_pcd1(data, num_points):
    if data.shape[0] > num_points:
        factor = data.shape[0] // num_points
    else:
        factor = 1
    down_data = data[:, :factor]

    z_list = [d[2] for d in down_data]
    z_max = max(z_list)

    res_data = []
    for point in down_data:
        if z_max - point[2] < random.random() * z_max:
            res_data.append(point)
    print(f'amount of points: {len(res_data)}')

    return np.asarray(res_data, dtype=np.float32)
```

Рисунок 4.7 – Алгоритм уменьшения размерности

Одним из минусов текущей версии алгоритма сегментации через воксели является высокая зависимость от ровности земли, отчего в ходе сегментации возникали проблемы из-за кривизны земли в наборах данных даже после их выравнивания, в результате чего случались ошибки в сегментации. Однако результаты, которые были получены таким образом, оказались в разы лучше сегментации DBSCAN (Рисунок 4.8, Рисунок 4.9).



Рисунок 4.8 – Фрагмент 2 в случае сегментации через воксели



Рисунок 4.9 – Фрагмент 8 в случае сегментации через воксели

После сегментации каждого участка, полученные сегменты были сохранены отдельно в виде .pcd файла и были объединены в одну группу под заголовком сегмента (Рисунок 4.10).

мبيوتر > Новый том (D:) > Projects > python > ml > res > 1				
Имя	Дата изменения	Тип	Размер	
export0.pcd	02.06.2023 6:35	Файл "PCD"	795 КБ	
export1.pcd	02.06.2023 6:35	Файл "PCD"	265 КБ	
export2.pcd	02.06.2023 6:35	Файл "PCD"	1 264 КБ	
export3.pcd	02.06.2023 6:35	Файл "PCD"	111 КБ	
export4.pcd	02.06.2023 6:35	Файл "PCD"	3 КБ	
export5.pcd	02.06.2023 6:35	Файл "PCD"	1 КБ	
export6.pcd	02.06.2023 6:35	Файл "PCD"	1 КБ	
export7.pcd	02.06.2023 6:35	Файл "PCD"	1 КБ	
export8.pcd	02.06.2023 6:35	Файл "PCD"	1 КБ	
export9.pcd	02.06.2023 6:35	Файл "PCD"	1 КБ	
export10.pcd	02.06.2023 6:35	Файл "PCD"	1 КБ	
export11.pcd	02.06.2023 6:35	Файл "PCD"	1 КБ	
export12.pcd	02.06.2023 6:35	Файл "PCD"	1 КБ	
export13.pcd	02.06.2023 6:35	Файл "PCD"	1 КБ	

Рисунок 4.10 – Результаты сегментации 1-го участка

После анализа всех участков был проведен визуальный анализ и сортировка полученных результатов после сегментации. Конечно, из-за кривизны почвы даже после очистки, сегментация не всегда получалась удачной, однако полученных данных было достаточно для создания набора данных для обучения модели, о чем и пойдет речь далее.

5 Создание модели на основе полученных данных

Для этого все полученные сегменты были разделены на 2 группы “tree” (“дерево”) и “not tree” (“не дерево”) (Рисунок 5.1, Рисунок 5.2, Рисунок 5.3).

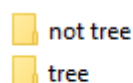


Рисунок 5.1 – Наборы данных

омпьютер > Новый том (D:) > Projects > python > ml > model > train > not tree

Имя	Дата изменения	Тип	Размер
e3 (2).pcd	01.06.2023 18:57	Файл "PCD"	168 КБ
e3 (5).pcd	01.06.2023 18:57	Файл "PCD"	1 227 КБ
e4 (1).pcd	01.06.2023 19:14	Файл "PCD"	553 КБ
e4 (2).pcd	01.06.2023 19:14	Файл "PCD"	703 КБ
e4 (4).pcd	01.06.2023 19:14	Файл "PCD"	812 КБ
e4 (5).pcd	01.06.2023 19:14	Файл "PCD"	32 КБ
e4 (6).pcd	01.06.2023 19:14	Файл "PCD"	150 КБ
e4 (9).pcd	01.06.2023 19:14	Файл "PCD"	19 КБ
e5 (1).pcd	01.06.2023 19:30	Файл "PCD"	3 861 КБ
e5 (2).pcd	01.06.2023 19:30	Файл "PCD"	949 КБ
e5 (3).pcd	01.06.2023 19:30	Файл "PCD"	125 КБ
e5 (5).pcd	01.06.2023 19:30	Файл "PCD"	19 КБ
e7 (1).pcd	01.06.2023 20:56	Файл "PCD"	606 КБ
e7 (2).pcd	01.06.2023 20:56	Файл "PCD"	308 КБ
e7 (3).pcd	01.06.2023 20:56	Файл "PCD"	415 КБ
e7 (5).pcd	01.06.2023 20:56	Файл "PCD"	133 КБ
e7 (6).pcd	01.06.2023 20:56	Файл "PCD"	840 КБ
e7 (7).pcd	01.06.2023 20:56	Файл "PCD"	52 КБ

Рисунок 5.2 – Набор данных “Не деревья”

омпьютер > Новый том (D:) > Projects > python > ml > model > train > tree

Имя	Дата изменения	Тип	Размер
e4 (3).pcd	01.06.2023 19:14	Файл "PCD"	100 КБ
e5 (4).pcd	01.06.2023 19:30	Файл "PCD"	141 КБ
e7 (4).pcd	01.06.2023 20:56	Файл "PCD"	363 КБ
e7 (10).pcd	01.06.2023 20:56	Файл "PCD"	97 КБ
e7 (14).pcd	01.06.2023 20:56	Файл "PCD"	146 КБ
e10 (1).pcd	01.06.2023 20:36	Файл "PCD"	89 КБ
e10 (15).pcd	01.06.2023 20:36	Файл "PCD"	227 КБ
e12 (4).pcd	01.06.2023 20:43	Файл "PCD"	121 КБ
e12 (5).pcd	01.06.2023 20:43	Файл "PCD"	186 КБ
e12 (9).pcd	01.06.2023 20:43	Файл "PCD"	223 КБ
e12 (12).pcd	01.06.2023 20:43	Файл "PCD"	66 КБ
export1.pcd	01.06.2023 18:50	Файл "PCD"	124 КБ
export3.pcd	01.06.2023 20:51	Файл "PCD"	96 КБ
export4.pcd	01.06.2023 22:35	Файл "PCD"	145 КБ
export6.pcd	01.06.2023 18:50	Файл "PCD"	166 КБ
export41.pcd	01.06.2023 22:35	Файл "PCD"	128 КБ

Рисунок 5.3 – Набор данных “Деревья”

Затем было проведено разделение на обучающую и тестовую выборки. Для этого из полученных данных были произвольно выбраны 20% данных и перенесены в набор для проверки, оставшиеся данные будут же использованы для обучения модели.

Модель, которую я буду обучать работает с треугольными mesh объектами, что отличаются от облака точек, поэтому была создана функция, которая преобразует облака точек в mesh объект (Рисунок 5.4).

```

Ввод [40]: def to_trimesh(path):
    pcd = o3d.io.read_point_cloud(path)
    pcd.estimate_normals()
    distances = pcd.compute_nearest_neighbor_distance()
    avg_dist = np.mean(distances)
    radius = 1.5 * avg_dist

    mesh = o3d.geometry.TriangleMesh.create_from_point_cloud_ball_pivoting(
        pcd,
        o3d.utility.DoubleVector([radius, radius * 2]))

    # create the triangular mesh with the vertices and faces from open3d
    mesh = trimesh.Trimesh(np.asarray(mesh.vertices), np.asarray(mesh.triangles),
        vertex_normals=np.asarray(mesh.vertex_normals))

    trimesh.convex.is_convex(mesh)
    return mesh

```

Рисунок 5.4 – Алгоритм трансформации облака точек в mesh-объект.

Для упрощения и облегчения создания модели было уменьшено количество точек в каждом объекте до 2048, что было сделано при загрузке деревьев в выборки(Рисунок 5.5).

```

Ввод [50]: def parse_dataset(num_points=2048):
    train_points = []
    train_labels = []
    test_points = []
    test_labels = []
    folders = ['tree', 'not tree']

    for i, folder in enumerate(folders):
        print("processing class: {}".format(os.path.basename(folder)))
        # store folder name with ID so we can retrieve later
        # gather all files

        for f in os.listdir(f"{DATA_DIR}/train/{folder}"):
            trm = to_trimesh(f"{DATA_DIR}/train/{folder}/{f}")
            train_points.append(trm.sample(num_points))
            train_labels.append(i)

        for f in os.listdir(f"{DATA_DIR}/test/{folder}"):
            trm = to_trimesh(f"{DATA_DIR}/test/{folder}/{f}")
            test_points.append(trm.sample(num_points))
            test_labels.append(i)

    return (
        np.array(train_points),
        np.array(test_points),
        np.array(train_labels),
        np.array(test_labels),
    )

```

Рисунок 5.5 – Алгоритм загрузки данных и их сжатия

Затем были выбраны гиперпараметры для обучения модели и запущено само обучение (Рисунок 5.6, Рисунок 5.7). Обучение происходило через центральный процессор, так как последняя версия tensorflow на Windows не может работать с графическими ускорителями.

```

Ввод [57]: inputs = keras.Input(shape=(NUM_POINTS, 3))

x = tnet(inputs, 3)
x = conv_bn(x, 32)
x = conv_bn(x, 32)
x = tnet(x, 32)
x = conv_bn(x, 32)
x = conv_bn(x, 64)
x = conv_bn(x, 512)
x = layers.GlobalMaxPooling1D()(x)
x = dense_bn(x, 256)
x = layers.Dropout(0.3)(x)
x = dense_bn(x, 128)
x = layers.Dropout(0.3)(x)

outputs = layers.Dense(NUM_CLASSES, activation="softmax")(x)

model = keras.Model(inputs=inputs, outputs=outputs, name="pointnet")
model.summary()

```

dropout (Dropout)	(None, 256)	0	['activation_15[0][0]']
dense_7 (Dense)	(None, 128)	32896	['dropout[0][0]']
batch_normalization_16 (Batch Normalization)	(None, 128)	512	['dense_7[0][0]']

Рисунок 5.6 – Параметры обучаемой модели

```

Ввод [60]: model.compile(
    loss="sparse_categorical_crossentropy",
    optimizer=keras.optimizers.Adam(learning_rate=0.001),
    metrics=["sparse_categorical_accuracy"],
)

history = model.fit(train_dataset, epochs=100, validation_data=test_dataset)

```

```

al_sparse_categorical_accuracy: 0.7895
Epoch 95/100
3/3 [=====] - 5s 1s/step - loss: 1.4669 - sparse_categorical_accuracy: 0.7468 - val_loss: 1.4669 - val_sparse_categorical_accuracy: 0.7468
al_sparse_categorical_accuracy: 0.7895
Epoch 96/100
3/3 [=====] - 5s 2s/step - loss: 1.4603 - sparse_categorical_accuracy: 0.8101 - val_loss: 1.4603 - val_sparse_categorical_accuracy: 0.8101
al_sparse_categorical_accuracy: 0.7895
Epoch 97/100
3/3 [=====] - 5s 1s/step - loss: 1.4567 - sparse_categorical_accuracy: 0.8228 - val_loss: 1.4567 - val_sparse_categorical_accuracy: 0.8228
al_sparse_categorical_accuracy: 0.7368
Epoch 98/100
3/3 [=====] - 5s 1s/step - loss: 1.4880 - sparse_categorical_accuracy: 0.7975 - val_loss: 1.4880 - val_sparse_categorical_accuracy: 0.7975
al_sparse_categorical_accuracy: 0.7368
Epoch 99/100
3/3 [=====] - 5s 1s/step - loss: 1.4507 - sparse_categorical_accuracy: 0.7722 - val_loss: 1.4507 - val_sparse_categorical_accuracy: 0.7722
al_sparse_categorical_accuracy: 0.7895
Epoch 100/100
3/3 [=====] - 5s 2s/step - loss: 1.5688 - sparse_categorical_accuracy: 0.7215 - val_loss: 1.5688 - val_sparse_categorical_accuracy: 0.7215
al_sparse_categorical_accuracy: 0.7368

```

Рисунок 5.7 – Обучение модели

Затем была проанализирована деятельность модели в ходе обучения (Рисунок 5.8, Рисунок 5.9). Можно сказать, что по ходу обучения модель оказалась достаточно точной для представленных данных, а также в ходе её обучения случился всего 1 прецедент ошибки.

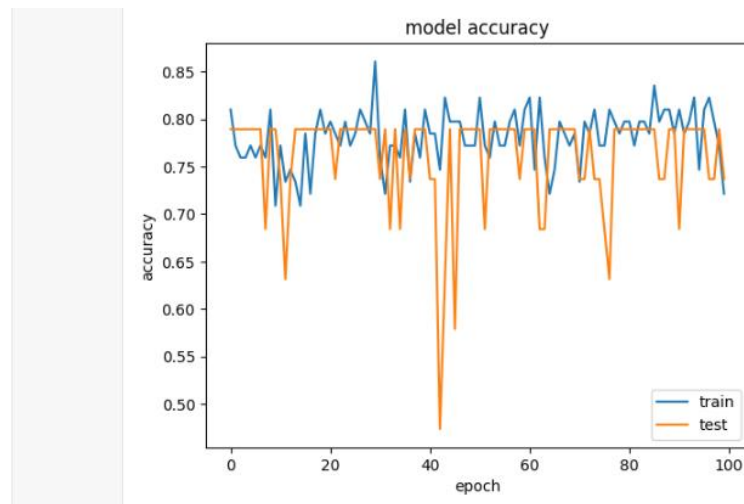


Рисунок 5.8 – Точность модели в процессе обучения

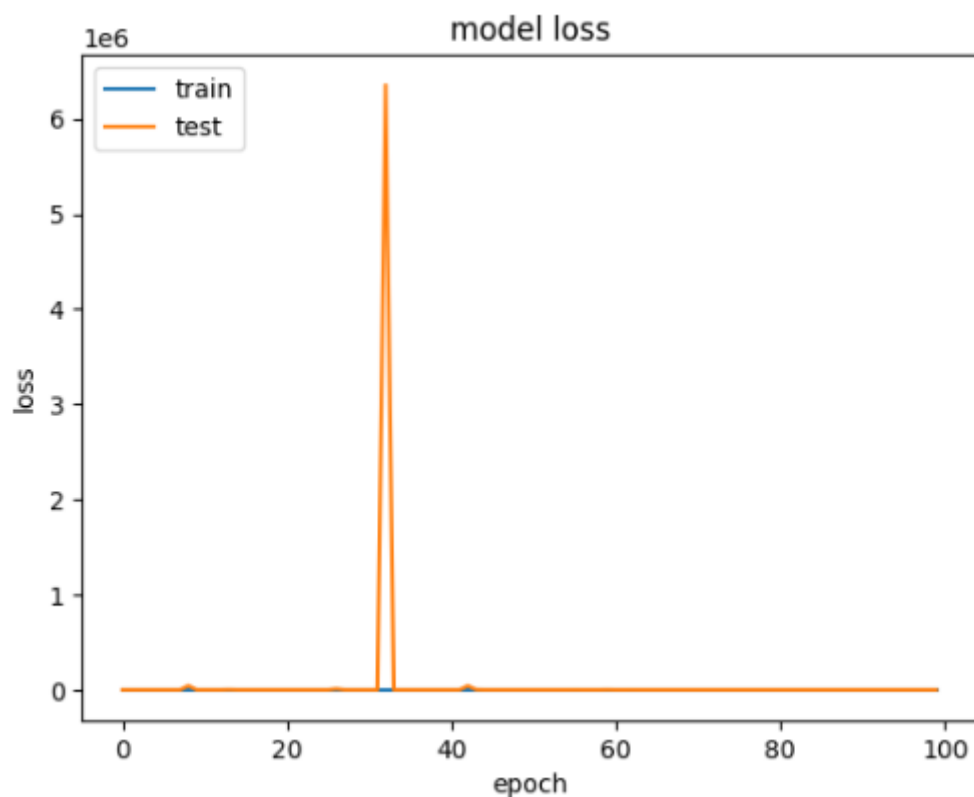


Рисунок 5.9 – Ошибки в процессе обучения

И наконец была создана корреляционная матрица для проведения корреляционного анализа (Рисунок 5.10). На ней видно, что полученные результаты оказались не очень хорошими. Модель предугадала всего 1 дерево из 4, однако она смогла выбрать 13 не деревьев из 15 имеющихся в наборе данных. Я связываю причину такого результата с тем, какой набор данных был использован при обучении модели. В нем было 16 деревьев и 63 не дерева, что сказалось на полученном результате. Также качество сегментации было не на

высоте, из-за чего случались ситуации 2 склеенных деревьев, которые выглядят как одно цельное, что также оказывает влияние на полученную модель (Рисунок 5.11). Причины такой сегментации в проблемах в неровной почве, а также в слишком плотном расположении деревьев, а также в их разновидности, так как по полученной сегментации видно, что есть как и лиственные деревья, так и сосны с елками. Также причина может быть в алгоритме очистки данных от лишних точек.

```
Ввод [78]: plot_confusion_matrix(cm=cm, classes=["tree", "not tree"], title='Confusion Matrix')
```

```
Confusion matrix, without normalization  
[[ 1  3]  
 [ 2 13]]
```

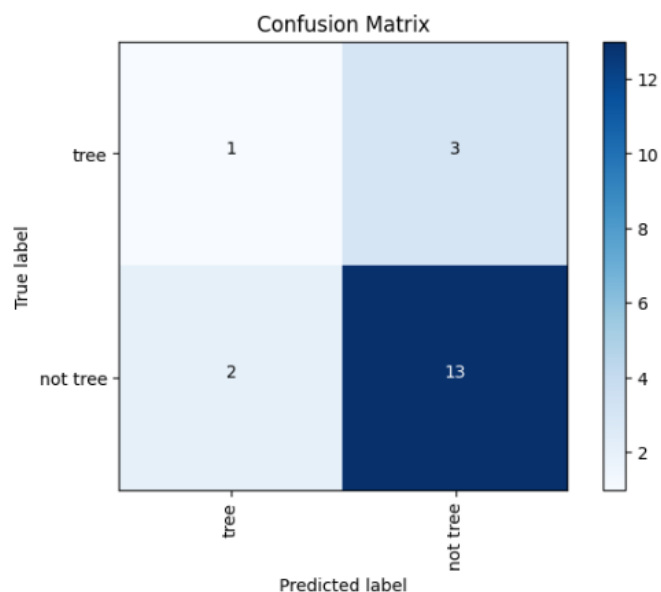


Рисунок 5.10 – Корреляционная матрица

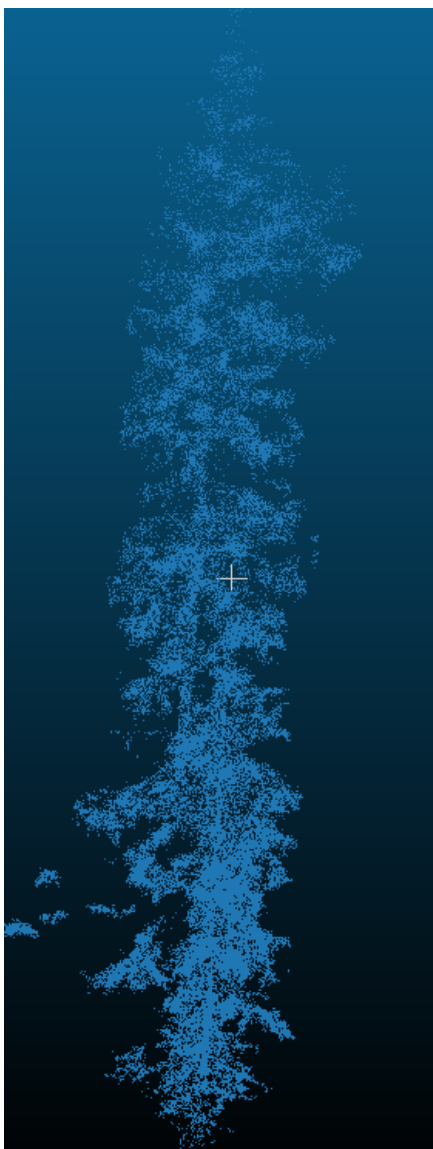


Рисунок 5.11 – “Склеенное дерево” из набора 4

ЗАКЛЮЧЕНИЕ

В результате выполнения научно-исследовательской работы были выполнены следующие задачи:

1. С использованием метода машинного обучения DBSCAN была произведена сегментация деревьев из облака точек. В результате чего было получено три кластера, которые соответствуют 3 деревьям в облаке точек.
2. Была произведена оценка качества кластеризации с использованием метрики Silhouette Score. Наивысшее значение $\text{sil_score} = 0.346324$, что соответствует $\text{eps} = 0.39$ и $\text{min_samples} = 149$.
3. Была произведена ручная сегментация, а затем каждый из созданных сегментов был впоследствии кластеризован при помощи метода сегментации через воксели и графы. Это дало значительный прирост в качестве по сравнению с DBSCAN.
4. Была создана вручную выборка из полученных данных сегментации для обучения модели.
5. Была обучена модель бинарной классификации деревьев и не деревьев, на основе собранных данных, а также сделаны выводы о её качестве и причинах такого результата.

СПИСОК ИСПОЛЬЗОВАННЫХ ИСТОЧНИКОВ

1. Tsz-Chung Wong, Abubakar Sani-Mohammed, Wei Yao, Marco Heurich. Automatic Classification of Single Tree Decay Stages from Combined ALS Data and Aerial Imagery using Machine Learning: [Электронный ресурс]. // arXiv.org. 2023. Дата обновления: 04.01.2023. URL: <https://arxiv.org/abs/2301.01841> (Дата обращения: 30.04.2023).
2. Ekaterina Kalinicheva, Loic Landrieu, Clément Mallet, Nesrine Chehata. Multi-Layer Modeling of Dense Vegetation from Aerial LiDAR Scans: [Электронный ресурс]. // arXiv.org. 2023. Дата обновления: 25.04.2022. URL: <https://arxiv.org/abs/2204.11620> (Дата обращения: 30.04.2023).
3. Vincent Grondin, Jean-Michel Fortin, Francois Pomerleau, Philippe Giguere. Tree Detection and Diameter Estimation Based on Deep Learning: [Электронный ресурс]. // arXiv.org. 2023. Дата обновления: 31.10.2022. URL: <https://arxiv.org/abs/2210.17424> (Дата обращения: 30.04.2023).
4. Jonathan Williams, Carola-Bibiane Schonlieb, Tom Swinfield, Juheon Lee, Xiaohao Cai, Lan Qie, David A. Coomes. Three-dimensional Segmentation of Trees Through a Flexible Multi-Class Graph Cut Algorithm (MCGC): [Электронный ресурс]. // arXiv.org. 2023. Дата обновления: 20.03.2019. URL: <https://arxiv.org/abs/1903.08481> (Дата обращения: 30.04.2023).
5. Lloyd Windrim, Mitch Bryson. Forest Tree Detection and Segmentation using High Resolution Airborne LiDAR: [Электронный ресурс]. // arXiv.org. 2023. Дата обновления: 30.10.2018. URL: <https://arxiv.org/abs/1810.12536> (Дата обращения: 30.04.2023).